

Uma Nova Versão Aprimorada do Método da Otimização Extrema Generalizada

Roberto Luiz Galski, Fernando Manuel Ramos, Fabiano Luís de Sousa

Instituto Nacional de Pesquisas Espaciais (INPE)

galski@ccs.inpe.br, fernando@lac.inpe.br, fabiano@dem.inpe.br

Resumo

Este artigo apresenta uma nova implementação aprimorada do algoritmo Otimização Extrema Generalizada (Generalized Extremal Optimization - GEO), e sua variante GEO_{var} , e analisa o ganho obtido quando aplicado a um conjunto de funções teste. Em Galski et al., 2003, uma primeira versão aprimorada foi apresentada. O novo aprimoramento, aplicado cumulativamente com o anterior, é mais um dos resultados dos estudos efetuados pelo primeiro autor como parte do seu programa de doutorado. São apresentadas curvas do valor da função objetivo versus o número de avaliações da função tanto para o GEO e GEO_{var} do primeiro aprimoramento quanto para o segundo, sendo os resultados analisados.

Palavras-chave: otimização global, algoritmos evolutivos.

1. Introdução

O algoritmo GEO e sua variante GEO_{var} , são meta-heurísticas de otimização global (Sousa & Ramos, 2002; Sousa et al., 2003a, 2003b) desenvolvidas como uma proposta de generalização do algoritmo τ -EO (Boettcher & Percus, 2001). Assim como os métodos Recozimento Simulado - RS (Kirkpatrick et al., 1983) e os Algoritmos Genéticos - AG (Goldberg, 1989), GEO e GEO_{var} são algoritmos estocásticos cuja inspiração origina-se na analogia de processos observados na natureza.

GEO e GEO_{var} destinam-se, primeiramente, a resolver problemas de otimização complexos, onde pouco ou nada se conhece a respeito do espaço de busca viável e inviável da função a ser otimizada. Podem ser aplicados a praticamente qualquer problema de otimização contínua ou combinatória, não convexo ou disjunto, com ou sem restrições, podendo, inclusive, ser aplicados a problemas com miscelânea de variáveis reais, inteiras ou discretas. Ambos são de fácil implementação e usam apenas valores da função objetivo. Não requerem o fornecimento de um ponto de partida situado no espaço viável. Além disso, possuem apenas um parâmetro de ajuste, τ , o que facilita bastante o ajuste de parâmetros destes dois algoritmos.

Em Galski et al., 2003, uma primeira versão aprimorada de GEO e GEO_{var} foi apresentada. Neste artigo, aquela versão será usada como ponto de partida para um novo aprimoramento. Para evitar confusões, a versão aprimorada apresentada em Galski et al., 2003 será designada por GEO_1 e GEO_{var1} e a nova versão ora apresentada será denominada GEO_2 e GEO_{var2} . O

desempenho desse novo aprimoramento é avaliado através de um conjunto de funções teste não lineares. Estas funções foram utilizadas por Potter & De Jong, 1994, para avaliação de AG's. Posteriormente, em Sousa & Ramos, 2002, as mesmas funções foram utilizadas para avaliação comparativa do desempenho do GEO e GEO_{var} originais com os AG's de Potter & De Jong, 1994. As mesmas funções foram utilizadas em Galski et al., 2003, para comparação direta entre o GEO e GEO_{var} originais e GEO_1 e GEO_{var1} .

2. Versão Aprimorada GEO_2 e GEO_{var2}

O segundo aprimoramento sugerido tem em vista o algoritmo GEO especificamente e introduz neste algoritmo a capacidade de auto-reinicialização da configuração corrente durante a busca. Esta funcionalidade permite ao algoritmo monitorar, ao longo da busca, o decaimento do valor da função objetivo (consideram-se aqui problemas de minimização, sem perda de generalidade). Se em algum momento este decaimento estagnar, a auto-reinicialização entra em ação, sorteando um novo ponto no espaço das variáveis de projeto a partir do qual a busca continuará.

Hipoteticamente, ao longo de uma busca o GEO pode, depois de algum tempo, “estacionar”, ficar preso no que pode ser chamado de “pontos de estagnação”. Tais pontos de estagnação ocorrem quando o algoritmo já se encontra em um ponto do espaço de busca tal que, ao realizar o ordenamento dos bits, todos levam a “pontos piores”, ou seja, pontos para os quais o valor da função objetivo é maior. Sob este aspecto, tal ponto pode ser considerado um ponto de mínimo local “relativo”. O termo relativo é usado para expressar que, embora não seja necessariamente um mínimo da função objetivo, é um ponto de mínimo local do ponto de vista do GEO, pois de todos os pontos ao qual ele tem acesso numa dada iteração, aquele é o de menor valor da função objetivo. Como a cada iteração o GEO modifica um bit obrigatoriamente, isto faz com que o GEO saia do mínimo local relativo onde se encontra, indo para um dos “pontos piores”. Se na iteração seguinte o ordenamento dos bits também levar a “pontos piores”, a única exceção será o bit que foi mudado na iteração anterior. Este, ao ser modificado, leva de volta ao ponto de mínimo local relativo aonde o algoritmo estava antes. Sendo assim, é grande a probabilidade do algoritmo modificar novamente o mesmo bit, a fim de voltar para o mínimo local relativo. Se isto ocorrer, o algoritmo volta à exata condição que tinha quando chegou ao mínimo local relativo pela primeira vez, caracterizando assim, um círculo vicioso ou “círculo de estagnação”, onde o algoritmo pode repetir indefinidamente os mesmos

movimentos no espaço de busca, perdendo eficiência. Os pontos de mínimo local relativos para os quais o fenômeno cíclico recém descrito ocorre definem os pontos de estagnação. A probabilidade de ocorrência dos “círculos de estagnação” depende do parâmetro τ . Quanto maior for τ , maior a probabilidade do GEO ficar preso em “círculos de estagnação”, pois com τ s elevados diminui a chance do algoritmo deixar de escolher o ponto que leva de volta ao ponto de estagnação, ou seja, ao mínimo local relativo. Além disso, a chance da estagnação acontecer no início da busca é menor, visto que nesse estágio, o espaço de busca ainda está começando a ser explorado e é provável que o algoritmo leve algum tempo antes de encontrar um mínimo local relativo.

É importante ressaltar que apesar de não haver correspondência direta entre mínimos locais reais da função objetivo e “mínimos locais relativos”, é provável que pelo menos alguns “mínimos locais relativos” sejam mínimos locais da função objetivo, sendo que quanto mais próximo o mínimo local for do mínimo global, em termos do valor da função objetivo, maior a chance dele ser um ponto de estagnação. O mínimo global é o caso extremo que ajuda a visualizar a situação. Se, durante a busca, o algoritmo encontra-se no ponto de mínimo global da função objetivo, então, ao realizar o ordenamento dos bits, todos, obrigatoriamente, levarão à “pontos piores”. Sob esse aspecto, o mínimo global pode ser visto como o “maior” dos pontos de estagnação. Para os mínimos locais cujo valor é próximo ao do mínimo global, a chance de um deles ser um ponto de estagnação também é grande, visto que devem ser pequenas as regiões do espaço de busca que possuem valores menores para a função objetivo. Para os mínimos locais cujos valores são distantes ao do mínimo local, a chance de um deles ser um ponto de estagnação é menor, visto que devem ser grandes as regiões do espaço de busca que possuem valores menores para a função objetivo.

Como GEO e GEO₁ (Galski et al., 2003) são idênticos do ponto de vista dinâmico, ou seja, ambos percorrem os mesmos pontos no espaço de busca, então a hipótese de ocorrência de pontos de estagnação é válida também para GEO₁. Sendo GEO₁ um aprimoramento de GEO, o mesmo foi usado como base para implementar a auto-reinicialização. Apresentam-se a seguir, os passos do algoritmo GEO₁ já com as alterações. Esta variante é denominada GEO₂. As alterações estão realçadas em negrito.

O algoritmo GEO₂ é composto dos seguintes passos:

1. Inicialize aleatoriamente uma sequência binária C , de comprimento L que codifica N variáveis de projeto. Dentro de C , cada variável é codificada em uma parcela com comprimento l_j , $j \in \{1, 2, \dots, N\}$ e tal que $\sum_j l_j = L$. Calcule o valor da função objetivo V para a configuração C e faça $C_{\text{melhor}} = C$ e $V_{\text{melhor}} = V$. **Faça $E = 0$.**
2. **Faça $V_{\text{anterior}} = V$.** Faça $V_{\text{melhor}}' = V_{\text{melhor}}$ e $C_{\text{melhor}}' = C_{\text{melhor}}$. Para cada bit $i \in \{1, 2, \dots, L\}$ da sequência C , faça:

- a) Mude o valor do bit i (de 0 para 1 ou 1 para 0), obtendo assim uma configuração de bits C_i . Calcule o valor da função objetivo V_i , para a configuração C_i . Em seguida, se $V_i < V_{\text{melhor}}'$ então faça $V_{\text{melhor}}' = V_i$ e $C_{\text{melhor}}' = C_i$.
 - b) Atribua ao bit i um índice de adaptação $\Delta V_i = (V_i - V_{\text{melhor}}')$, que indica o ganho (ou perda) que se têm ao mudar o valor do bit, comparado com o melhor valor encontrado para a função objetivo até o momento.
 - c) Retorne o bit i ao seu valor original.
3. Ordene todos os bits $i \in \{1, 2, \dots, L\}$ de acordo com os seus índices de adaptação, de $k=1$ para o menos adaptado à $k=L$, para o mais adaptado. Crie uma lista de valores (i, k) relacionando a posição física i do bit em C com seu respectivo número de ordem k , onde $i, k \in \{1, 2, \dots, L\}$. Se $\Delta V_i = \Delta V_j$, $i \neq j$, estabeleça a ordem entre i e j de forma aleatória.
 4. Escolha com igual probabilidade um bit candidato i para ser modificado. Calcule $P_i(k) = k^{-\tau}$ e gere um número aleatório ALE com distribuição uniforme no intervalo $[0, 1]$. Se ALE for menor ou igual à $P_i(k)$, confirme o bit i para ser modificado. Repetir este passo até que um bit seja confirmado. Quando isso acontecer, faça $i_{\text{esc}} = i$.
 5. Faça $C = C_{i_{\text{esc}}}$, calcule $V_{i_{\text{esc}}}$ e faça $V = V_{i_{\text{esc}}}$.
 6. **Se $V \geq V_{\text{anterior}}$ e $V_{\text{melhor}}' = V_{\text{melhor}}$ faça $E = E + 1$ senão, faça $E = 0$.** Faça $V_{\text{melhor}} = V_{\text{melhor}}'$ e $C_{\text{melhor}} = C_{\text{melhor}}'$. **Se $E = E_{\text{lim}}$, $E_{\text{lim}} \in \{1, 2, \dots\}$, faça $E = 0$ e reinicialize aleatoriamente a sequência binária C e calcule o respectivo valor de V . Se $V < V_{\text{melhor}}$ faça $V_{\text{melhor}} = V$.**
 7. Repita os passos 2 a 6 até que um dado critério de parada seja satisfeito.
 8. Retorne C_{melhor} e V_{melhor} .

No passo 6 do algoritmo acima, “E” conta o número de iterações consecutivas do algoritmo em que não houve melhora, nem no valor da função objetivo V atual com relação à V_{anterior} , nem no valor V_{melhor}' com relação à V_{melhor} . Se o valor de E for igual ao valor limite E_{lim} , previamente definido, então ocorre a reinicialização da sequência binária C .

Conforme já mencionado, a versão 2 foi desenvolvida tendo em vista apenas o GEO/GEO₁. O algoritmo GEO_{var}/GEO_{var1}, pelo fato de realizar a mutação simultânea de N bits ao invés de um, deve possuir uma espécie de “imunidade natural” ao problema da estagnação. De todo modo, movido pela curiosidade, decidiu-se implementar a versão 2 também para o GEO_{var1}, a fim de ver o que de fato acontece.

Os passos para o GEO_{var2} são:

1. Inicialize aleatoriamente uma sequência binária C , de comprimento L que codifica N variáveis de projeto. Dentro de C , cada variável é codificada em uma parcela com comprimento l_j , $j \in \{1, 2, \dots, N\}$ e tal que $\sum_j l_j = L$. Calcule o valor da função

- objetivo V para a configuração C e faça $C_{\text{melhor}} = C$ e $V_{\text{melhor}} = V$. **Faça $E = 0$.**
2. **Faça $V_{\text{ant}} = V$.** Faça $V_{\text{melhor}}' = V_{\text{melhor}}$ e $C_{\text{melhor}}' = C_{\text{melhor}}$. Para cada bit $i \in \{1, 2, \dots, L\}$ da sequência C , faça:
 - a) Mude o valor do bit i (de 0 para 1 ou 1 para 0), obtendo assim uma configuração de bits C_i . Calcule o valor da função objetivo V_i , para a configuração C_i . Em seguida, se $V_i < V_{\text{melhor}}'$ então faça $V_{\text{melhor}}' = V_i$ e $C_{\text{melhor}}' = C_i$.
 - b) Atribua ao bit i um índice de adaptação $\Delta V_i = (V_i - V_{\text{melhor}})$, que indica o ganho (ou perda) obtido ao mudar o valor do bit, comparado com o melhor valor encontrado para a função objetivo até o momento.
 - c) Retorne o bit i ao seu valor original.
 3. Para cada variável $j \in \{1, 2, \dots, N\}$ faça:
 - a) Ordene os bits $i \in \{1+s, 2+s, \dots, l_j+s\}$, $s = \sum_{m=0}^{m=j-1} l_m$ e $l_0 = 0$, ou seja, ordene os bits da variável j , de acordo com os seus índices de adaptação ΔV_i , de $k=1$ para o menor ΔV_i até $k = l_j$, para o maior ΔV_i , onde l_j é o número de bits da variável j .
 - b) Crie uma lista $(i, k)_j$, relacionando a posição física i do bit em C com seu número de ordem k . Se $\Delta V_m = \Delta V_n$, $\forall m \neq n$, estabeleça a ordem entre m e n de forma aleatória.
 4. Para cada variável $j \in \{1, 2, \dots, N\}$ faça:
 - a) Escolha com igual probabilidade um bit candidato $i \in \{1+s, 2+s, \dots, l_j+s\}$, $s = \sum_{m=0}^{m=j-1} l_m$ para ser modificado.
 - b) Calcule $P_i(k) = k^{-\tau}$ e gere um número aleatório ALE com distribuição uniforme no intervalo $[0, 1]$. Se ALE for menor ou igual a $P_i(k)$, confirme o bit para mutar.
 - c) Repetir os passos 4.a) e 4.b) até que um bit seja confirmado para ser modificado. Quando isso acontecer, faça $i_{\text{esc}_j} = i$.
 5. Faça $C = C_{\text{esc}}$, onde C_{esc} é a configuração resultante da mutação em C dos N bits escolhidos em 4.c (bits i_{esc_j} , $j \in \{1, 2, \dots, N\}$). Calcule V_{esc} e faça $V = V_{\text{esc}}$. Se $V < V_{\text{melhor}}'$ então faça $V_{\text{melhor}}' = V$ e $C_{\text{melhor}}' = C$.
 6. Se $V \geq V_{\text{ant}}$ e $V_{\text{melhor}}' = V_{\text{melhor}}$ **faça $E = E + 1$.** Faça $V_{\text{melhor}} = V_{\text{melhor}}'$ e $C_{\text{melhor}} = C_{\text{melhor}}'$. Se $E > E_{\text{lim}}$ **faça $E = 0$, reinicialize aleatoriamente a sequência binária C e calcule o respectivo valor de V .** Se $V < V_{\text{melhor}}$ **faça $V_{\text{melhor}} = V$.**
 7. Repita os passos 2 a 6 até que um dado critério de parada seja satisfeito.
 8. Retorne C_{melhor} e V_{melhor} .

3. Resultados com as Funções Teste

As versões GEO_2 e GEO_{var2} foram aplicadas ao conjunto de funções teste FT_i , $i \in \{1, 2, \dots, 5\}$ conforme Tabela a seguir:

Tabela 1 – Funções teste

	Min. $F(\mathbf{X})$
FT_1 (Rosenbrock)	$F(\mathbf{X}) = 100(X_1^2 - X_2)^2 + (1 - X_1)^2$ $-2,048 \leq X_{i \in \{1, \dots, N\}} \leq 2,048 \quad N=2$ $\mathbf{X}^* = [1 \ 1] \quad F(\mathbf{X}^*) = 0$
FT_2 (Rastrigin)	$F(\mathbf{X}) = 3N + \sum_{i=1}^N (X_i^2 - 3 \cos(2\pi X_i))$ $-5,12 \leq X_{i \in \{1, \dots, N\}} \leq 5,12 \quad N=20$ $X_i^* = 0 \quad F(\mathbf{X}^*) = 0$
FT_3 (Schwefel)	$F(\mathbf{X}) = 418,9829N - \sum_{i=1}^N X_i \sin(\sqrt{ X_i })$ $-500 \leq X_{i \in \{1, \dots, N\}} \leq 500 \quad N=10$ $X_i^* = 420,9687 \quad F(\mathbf{X}^*) = 0$
FT_4 (Griewangk)	$F(\mathbf{X}) = 1 + \sum_{i=1}^N \frac{X_i^2}{4000} - \prod_{i=1}^N \cos\left(\frac{X_i}{\sqrt{i}}\right)$ $-600 \leq X_{i \in \{1, \dots, N\}} \leq 600 \quad N=10$ $X_i^* = 0 \quad F(\mathbf{X}^*) = 0$
FT_5 (Ackley)	$F(\mathbf{X}) = 20 + e$ $-20e^{\left(-0,2\sqrt{\frac{1}{N}\sum_{i=1}^N X_i^2}\right)} - e^{\left(\frac{1}{N}\sum_{i=1}^N \cos(2\pi X_i)\right)}$ $-30 \leq X_{i \in \{1, \dots, N\}} \leq 30 \quad N=30$ $X_i^* = 0 \quad F(\mathbf{X}^*) = 0$

¹⁾ N = Número de dimensões (variáveis); ²⁾ \mathbf{X}^* = Ponto de mínimo global.

Inicialmente, é feita uma busca do tipo varredura a fim de verificar a influência dos parâmetros τ e E_{lim} nas versões GEO_2 e GEO_{var2} . Para τ , a varredura deu-se no intervalo de 0 a 10 com passo 0,25. Para E_{lim} , utilizou-se $E_{\text{lim}} \in \{1; 2; 3; 4; 20; 100; 1000\}$. É importante notar que quando $E_{\text{lim}} \rightarrow \infty$, GEO_2 e $\text{GEO}_{\text{var2}} \rightarrow \text{GEO}_1$ e GEO_{var1} , ou seja, a versão 2 torna-se idêntica a versão 1 a partir da qual foi desenvolvida. Para a maioria das implementações práticas, isto ocorre para valores finitos de E_{lim} . De fato, para os testes efetuados, o valor $E_{\text{lim}} = 1000$ garante que nenhuma reinicialização seja aplicada, e isto para todas as FT 's. Com isto, a menos do desempenho temporal, as buscas efetuadas pela versão 2 com $E_{\text{lim}} = 1000$ equivalem a buscas efetuadas pela versão 1. O motivo de utilizar-se $E_{\text{lim}} = 1000$ é exatamente o de ter resultados equivalentes ao da versão 1 para utilizar como referência na comparação com a versão 2.

As figuras 1 até 5 apresentam os resultados médios de 50 execuções independentes, em termos do melhor $F(\mathbf{X})$ encontrado ao final de cada execução, obtidos com as versões GEO_2 e GEO_{var2} . Nas figuras, cada curva apresenta o resultado para um dado valor de E_{lim} , conforme indicado, e para τ variando de 0 a 10. Visando maior clareza, para $E_{\text{lim}} \in \{1, 2, 3, 4\}$ apenas duas das quatro curvas obtidas são apresentadas. O critério de parada usado foi interromper o algoritmo após 10^4 avaliações da função objetivo para FT_1 e após 10^3 avaliações para FT_i , $i \in \{2, 3, 4, 5\}$. Para todas as FT 's, 16 bits foram usados para codificar cada uma das variáveis.

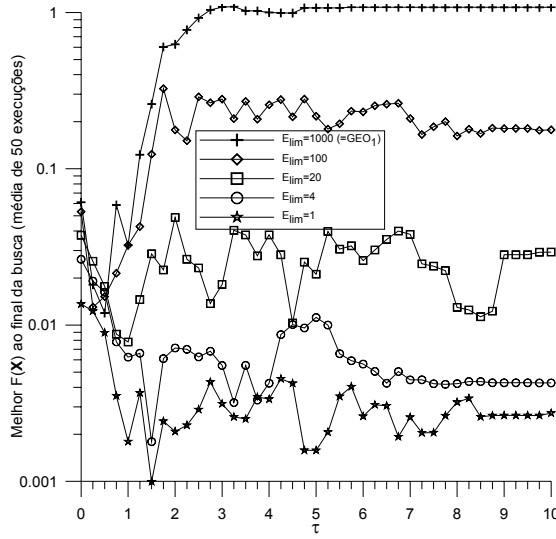


Figura 1a - $FT_1 \times \tau \times E_{lim}$ para GEO_2

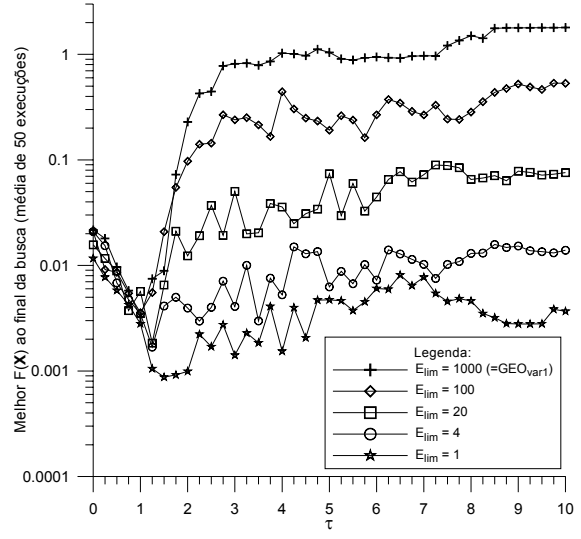


Figura 1b - $FT_1 \times \tau \times E_{lim}$ para GEO_{var2}

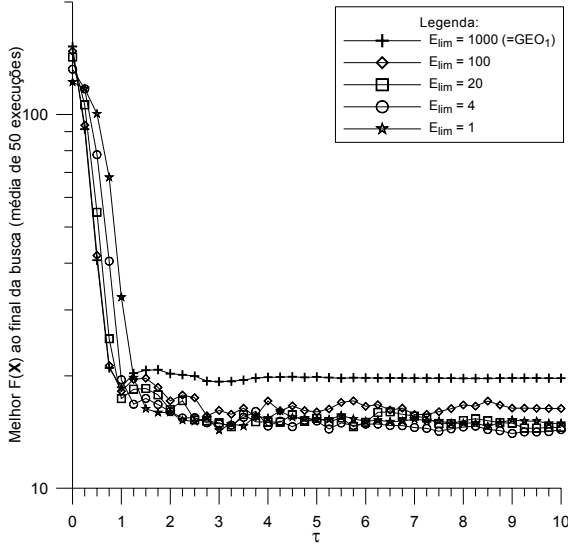


Figura 2a - $FT_2 \times \tau \times E_{lim}$ para GEO_2

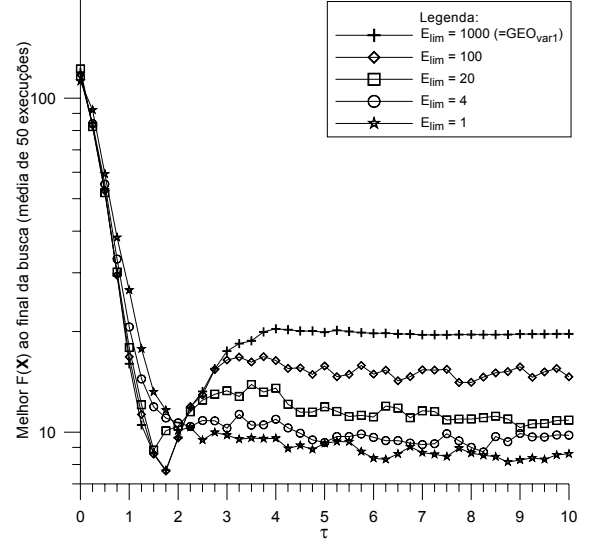


Figura 2b - $FT_2 \times \tau \times E_{lim}$ para GEO_{var2}

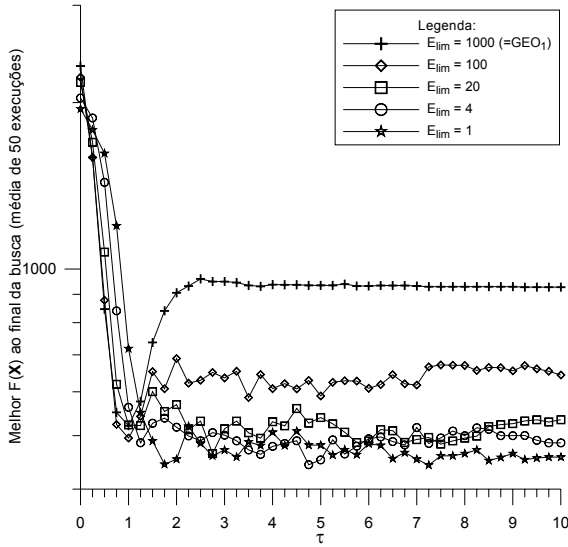


Figura 3a - $FT_3 \times \tau \times E_{lim}$ para GEO_2

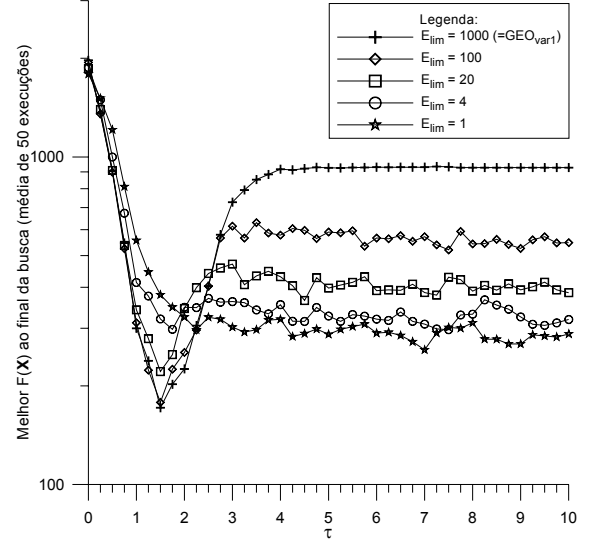


Figura 3b - $FT_3 \times \tau \times E_{lim}$ para GEO_{var2}

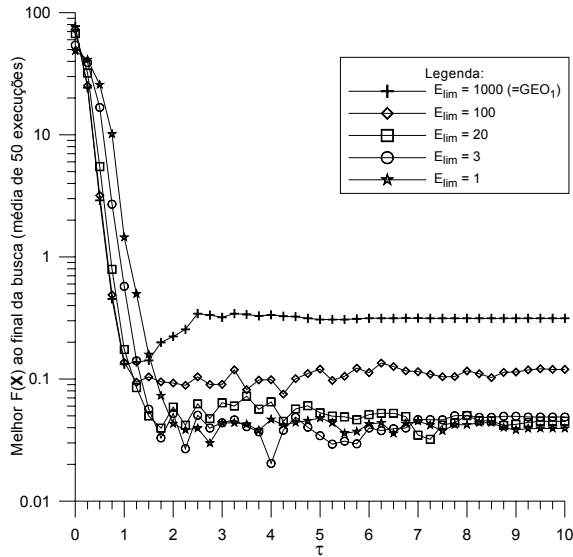


Figura 3.12a - $FT_4 \times \tau \times E_{lim}$ para GEO_2

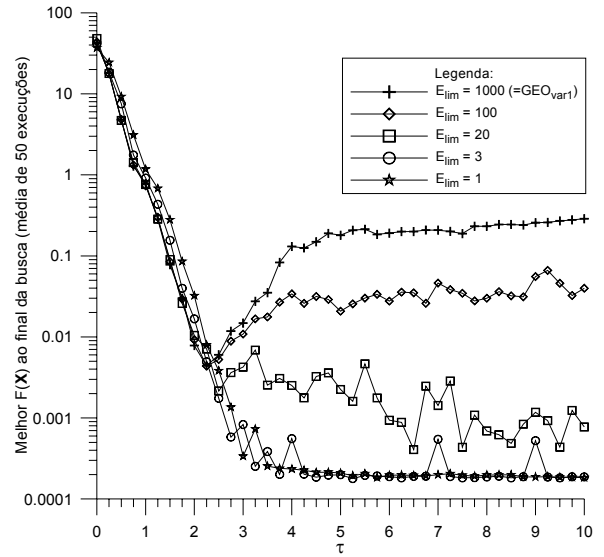


Figura 3.12b - $FT_4 \times \tau \times E_{lim}$ para GEO_{var2}

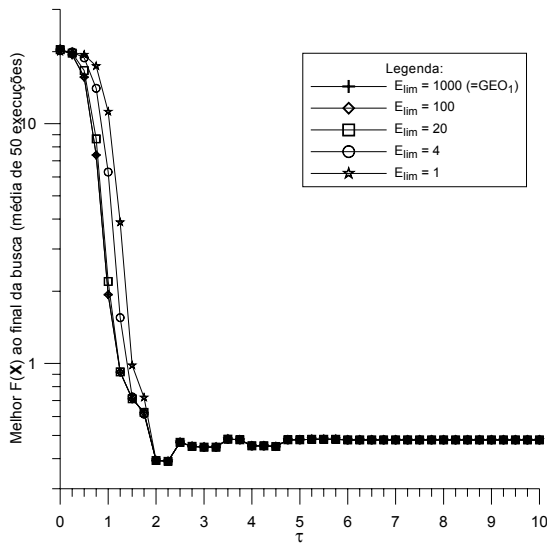


Figura 3.13a - $FT_5 \times \tau \times E_{lim}$ para GEO_2

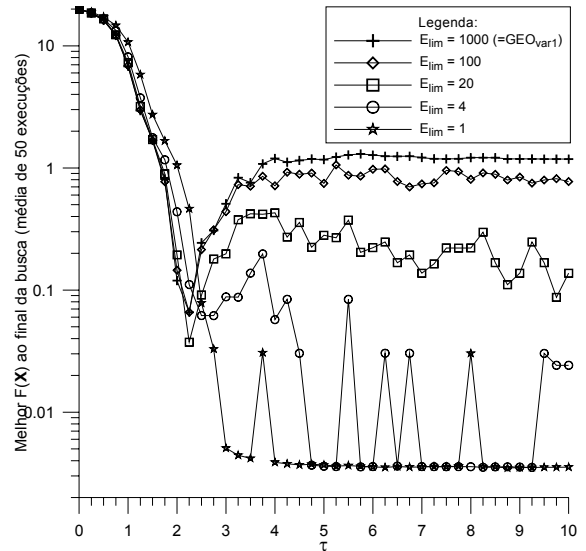


Figura 3.13b - $FT_5 \times \tau \times E_{lim}$ para GEO_{var2}

Analisando primeiramente os resultados obtidos para GEO_2 (figuras 1a a 5a), em termos do melhor resultado de todos, observa-se que há melhora do desempenho, relativamente ao GEO_1 , e isto para todas as funções teste menos FT_5 , onde ambas as versões empatam. Em termos gerais, o efeito mais evidente é a melhora do desempenho à medida que E_{lim} diminui. Outro efeito muito importante é a relativa “estabilidade” de desempenho que GEO_2 apresenta para $\tau > 2$. Este fato fortalece a hipótese da ocorrência de pontos de estagnação para o GEO, principalmente para τ s elevados, conforme havia sido antecipado.

Analisando agora os resultados obtidos para GEO_{var2} (figuras 1b a 5b), em termos do melhor resultado de todos, observa-se que também para esta versão há melhora de desempenho relativamente ao GEO_{var1} . Isto ocorre para as funções teste FT_1 , FT_4 e FT_5 . Além disso, é possível observar que GEO_{var2} também apresenta certa estabilidade de desempenho para $\tau > 4,0$.

Para FT_2 o melhor resultado ocorre com $E_{lim}=100$, mas é muito próximo ao obtido com $E_{lim}=1000$ (diferença de 0,6%). Para FT_3 , o melhor resultado ocorre para $E_{lim}=1000$. Para estas duas funções teste, portanto, pode-se dizer que GEO_{var1} obtém vantagem. Para GEO_{var2} , o efeito geral mais evidente é também a melhora do desempenho à medida que E_{lim} diminui, mas com exceções. As exceções no caso, são FT_2 e FT_3 . Nestas duas funções teste, para valores de τ até $\sim 2,5$ ocorre piora no desempenho à medida que E_{lim} diminui. Somente para valores de τ maiores que 2,5 é que a situação se inverte, ocorrendo melhora do desempenho à medida que E_{lim} diminui. Como o valor ótimo de τ para estas duas funções teste ocorre para $\tau < 2,5$ então o uso de GEO_{var2} nestas duas funções ocasiona perda de desempenho. De todo modo, não deixa de ser surpreendente que também para GEO_{var1} , que se pensava “imune” à estagnação, GEO_{var2} tenha propiciado ganho de desempenho, ainda que restrito a 3 das 5 funções teste.

A Tabela 2 a seguir, apresenta os valores ótimos de τ e E_{lim} para GEO_2 e GEO_{var2} , ou seja, aqueles com os quais obteve-se o melhor resultado para cada função teste. Por melhor resultado entende-se o menor valor médio da respectiva função teste ao final de 50 execuções independentes. Como referência, os valores ótimos de τ para GEO_1 e GEO_{var1} também são mostrados. A Tabela 2 informa também a média R do número de reinicializações ocorrido nas 50 execuções independentes. Para FT_5 com GEO_2 , houve empate, tendo sido o mesmo e melhor resultado obtido para $E_{lim} \in \{3;4;20;100;1000\}$ e todos com $\tau=2,25$ conforme apresentado na tabela. Todavia, para $E_{lim} \in \{1;2\}$, os resultados foram piores que os demais por uma diferença ínfima (0,013%). Para FT_2 e FT_3 com GEO_{var2} , os melhores resultados foram obtidos com $E_{lim} \geq 100$.

Tabela 2.1 – Valores ótimos de τ e E_{lim} e R

FT	GEO_1	GEO_2		
	τ	τ	E_{lim}	R
FT_1	0,5	1,5	1	42,1
FT_2	1,0	5,5	3	2,00
FT_3	1,0	7,25	1	10,0
FT_4	1,0	4,0	3	9,24
FT_5	2,25	2,25	$\{3;4;20;10^2;10^3\}$	$\{0,26;0,2;0,02;0,0\}$

¹⁾ Convenção: $\{.\}$ = o melhor resultado foi obtido para mais de um valor do parâmetro

Tabela 2.2 – Valores ótimos de τ e E_{lim} e R

FT	GEO_{var1}	GEO_{var2}		
	τ	τ	E_{lim}	R
FT_1	1,0	1,5	1	61,2
FT_2	1,75	1,75	100	0,78
FT_3	1,5	1,5	1000	0,0
FT_4	2,25	5,25	3	53,8
FT_5	2,25	8,75	1	16,2

A análise dos dados da Tabela 2a para GEO_2 corrobora a análise feita com base nas Figuras 1a a 5a, qual seja, a de que GEO_2 obteve desempenho superior (4 em 5) ou equivalente (1 em 5) a GEO_1 para todas as funções teste. Além disso, a tabela mostra que para a maioria das funções teste (4 em 5), o τ ótimo de GEO_2 ocorre para $\tau > 2$, ou seja, dentro da região de estabilidade onde o desempenho de GEO_2 não varia significativamente com o parâmetro τ . Isto é importante, pois sugere que é possível utilizar-se *a priori* um valor elevado de τ e efetuar a varredura para descobrir o valor ótimo de E_{lim} apenas. O fato do E_{lim} ótimo de todas as funções teste para GEO_2 ter ocorrido para $E_{lim} \in \{1,2,3\}$ sugere ainda que também para este parâmetro a busca pode ser efetuada para um conjunto pequeno de valores. Já para GEO_{var2} os dados da Tabela 2b mostram que a situação é mais complexa, pois além de inesperada, não há nos resultados nenhuma indicação do porque houve melhora no desempenho em 3 das 5 funções teste (FT_1, FT_4 e FT_5), e nem tampouco porque houve piora no desempenho em 2 das 5 funções teste (FT_2 e FT_3). É possível, entretanto, observar que para as funções teste

onde GEO_{var2} ocasionou melhora no desempenho, o valor ótimo para E_{lim} está restrito a um conjunto bastante pequeno ($E_{lim} \in \{1,2,3\}$). Isto, aliado à informação da relativa “estabilidade” de desempenho de GEO_{var2} observada nas Figuras 1b a 5b para $\tau > 4,0$, permite aventar como possível estratégia para o ajuste dos parâmetros τ e E_{lim} de GEO_{var2} , usar $\tau > 4,0$ fixo e fazer varredura para $E_{lim} \in \{1;2;3\}$ e, adicionalmente, utilizar GEO_{var1} (ou GEO_{var2} com $E_{lim} \rightarrow \infty$) como referência quanto ao desempenho, fazendo neste último varredura para $\tau \in [0;10]$.

4. Conclusões

Neste artigo, um novo aprimoramento dos algoritmos estocásticos de otimização global GEO e GEO_{var} foi apresentado e os resultados obtidos da sua aplicação a um conjunto de funções teste foram analisados. GEO_2 foi superior a GEO_1 em todas as funções teste à exceção de uma, onde houve empate. Este fato corrobora a hipótese de ocorrência de pontos de estagnação durante a busca com GEO/GEO_1 . Surpreendentemente, GEO_{var2} também obteve resultados superiores a GEO_{var1} em mais da metade das funções teste. A auto-reinicialização demonstrou ser uma funcionalidade de valor para melhorar o desempenho de GEO_1 e GEO_{var1} .

5. Referências

- Boettcher, S.; Percus, A. "Optimization With Extremal Dynamics". Physical Review Letters, v. 86, pp. 5211-5214, 2001.
- Galski, R. L.; Sousa, F. L.; Ramos, F. M.; Muraoka, I. "Um Estudo para o Aprimoramento do Método da Otimização Extrema Generalizada". Terceiro Workshop dos cursos de Computação Aplicada do INPE (III WORCAP), São José dos Campos, Novembro, 2003.
- Goldberg, D.E., Genetic algorithms in search, optimization, and machine learning. Addison-Wesley Publishing, New York, 1989.
- Kirkpatrick, S.; Gellat Jr., C.D.; Vecchi, M.P. "Optimizing by simulated annealing". Science, v. 220, n. 4598, pp. 671-680, 1983.
- Potter, M.; De Jong, K.A., "A Cooperative Coevolutionary Approach to Function Optimization", Anais do Third Parallel Problem Solving From Nature, Springer-Verlag, pp. 249-257, 1994.
- Sousa, F. L.; Ramos, F. M., "Function Optimization Using Extremal Dynamics", Anais do 4th International Conference on Inverse Problems in Engineering, Rio de Janeiro, Brasil, 2002.
- Sousa, F.L., Ramos, F.M., P. Paglione, R.M. Girardi, "New Stochastic Algorithm for Design Optimization", AIAA Journal, Vol. 41, Number 9, pp. 1808-1818, 2003.
- Sousa, F.L. Vlassov, V. e Ramos, F.M. "Generalized Extremal Optimization for Solving Complex Optimal Design Problems". Lecture Notes on Computer Science, 2723:375-376, 2003.